

# Il Paradigma Predittivo del Campo Computazionale: Architettura, Meccanismi e Applicazioni Prospettive

*Working Paper WP-2025-PPCC-001*  
*Kitzanos Soc. Coop.*

Gennaio 2025

*Nota: Il presente documento presenta congetture teoretiche e analisi prospettive basate sul framework matematico del Campo Computazionale. Tutte le applicazioni descritte richiedono validazione empirica prima di qualsiasi implementazione pratica.*

## 1 Abstract

Il presente documento esplora il paradigma predittivo emergente dal framework del Campo Computazionale, un'architettura computazionale radicalmente innovativa basata su principi di emergenza, pre-semanticità e auto-organizzazione. Partendo dall'osservazione che sistemi complessi possono manifestare capacità predittive attraverso correlazioni fenomenologiche senza comprensione meccanicistica, proponiamo un modello nel quale il Campo Computazionale opera come substrato dinamico perturbabile, le cui risposte a stimoli esterni codificano informazione predittiva su eventi futuri.

L'analisi si articola attraverso tre dimensioni principali: (i) la formalizzazione matematica del Campo come sistema dinamico in equilibrio perturbabile, (ii) i meccanismi di trasduzione e osservazione che permettono l'estrazione di segnali predittivi preservando la privacy by design, e (iii) l'esplorazione di casi d'uso concreti in domini quali la medicina predittiva, l'analisi di rischio sistemico e la sorveglianza epidemiologica.

Particolare attenzione viene dedicata al meccanismo di Pre-Semantic Resonance Probing, che permette l'interazione personalizzata con il Campo senza mantenimento di identificatori persistenti, configurando un paradigma di privacy strutturalmente garantita. L'architettura proposta supera il tradizionale trade-off tra granularità predittiva e protezione della privacy attraverso computazione su pattern distribuiti piuttosto che su dati individuali.

*Parole chiave:* Campo Computazionale, Predizione basata su Perturbazioni, Privacy by Design, Sistemi Dinamici Complessi, Epistemologia della Non-Comprensione

## 2 Introduzione

### 2.1 Motivazione e Contesto

I sistemi predittivi contemporanei operano prevalentemente attraverso due paradigmi consolidati: l'analisi statistica di serie temporali storiche e l'apprendimento automatico basato su correlazioni in spazi ad alta dimensionalità<sup>1</sup>. Entrambi gli approcci presuppongono l'accesso a dataset strutturati e la capacità di estrarre feature semanticamente interpretabili. Tale presupposto limita l'applicabilità a domini dove i dati sono frammentati, eterogenei, o dove le dinamiche sottostanti resistono alla modellazione esplicita.

Il Campo Computazionale, come delineato nel framework teorico fondazionale<sup>2</sup>, propone un paradigma computazionale radicalmente differente basato su tre principi fondamentali:

1. Computazione pre-semantic: Elaborazione attraverso trasformazioni geometriche continue senza riferimento a categorie simboliche
2. Emergenza non-pianificata: Pattern computazionalmente utili che cristallizzano da interazioni locali senza design globale
3. Privacy strutturale: Assenza di mappature persistenti tra identità e dati

La convergenza di tali principi suggerisce la possibilità di un paradigma predittivo innovativo nel quale la capacità di anticipare eventi futuri emerge dall'osservazione di perturbazioni in un substrato computazionale dinamico, senza necessità di comprendere i meccanismi causali sottostanti.

### 2.2 L'Analogia Epistemologica Fondamentale

L'approccio proposto trova fondamento epistemologico nell'osservazione che la scienza ha storicamente sviluppato capacità predittive efficaci in assenza di comprensione meccanicistica completa. La termodinamica precedette la teoria cinetica dei gas di decenni<sup>3</sup>, eppure permise la progettazione di motori termici efficienti. Analogamente, proponiamo che il Campo Computazionale possa fornire predizioni accurate attraverso correlazioni empiriche tra perturbazioni osservate ed eventi futuri, senza richiedere decodifica dei processi interni.

Tale approccio configura quella che definiamo «epistemologia della non-comprensione»<sup>4</sup>: l'accettazione che sistemi computazionali possano manifestare utilità operativa anche quando i loro meccanismi interni trascendono la comprensibilità umana.

### 2.3 Struttura del Documento

Il presente documento si articola come segue. La Sezione 2 formalizza il Campo Computazionale come sistema dinamico perturbabile, derivando le condizioni matematiche per l'emergenza di capacità predittive. La Sezione 3 analizza l'architettura di osservazione e i meccanismi di preservazione della privacy. La Sezione 4 esplora casi d'uso concreti attraverso analisi prospettiche dettagliate. La Sezione 5 discute limitazioni, sfide implementative e direzioni di ricerca future.

---

<sup>1</sup>Bishop, C. M. (2006). *Pattern Recognition and Machine Learning*. New York: Springer.

<sup>2</sup>Il Campo Computazionale: Framework Teoretico per l'Emergenza di Strutture Alter-Semantiche (2025), Working Paper WP-2025-CC-005, Kitzanos Soc. Coop.

<sup>3</sup>Brush, S. G. (1976). *The Kind of Motion We Call Heat*. Amsterdam: North-Holland.

<sup>4</sup>L'Estrazione del Valore dal Campo Computazionale: Analisi Economica ed Epistemologica (2025), Working Paper WP-2025-ECC-001, Kitzanos Soc. Coop.

## 3 Formalizzazione del Sistema Predittivo

### 3.1 Il Campo come Sistema Dinamico in Equilibrio

#### 3.1.1 Caratterizzazione Matematica dello Stato Basale

Il Campo Computazionale viene formalizzato come sistema dinamico continuo su varietà differenziabile  $\mathcal{M}$  di dimensione  $n \geq 64$ . L'evoluzione temporale segue l'equazione master:

$$\frac{\partial \Phi(\mathbf{x}, t)}{\partial t} = \mathcal{F}[\Phi] + \mathcal{N}[\Phi, \Phi] + \eta(\mathbf{x}, t)$$

dove:

- $\mathcal{F}$  rappresenta l'operatore di evoluzione lineare
- $\mathcal{N}$  denota i termini di interazione non-lineari
- $\eta$  codifica fluttuazioni stocastiche con  $\langle \eta(\mathbf{x}, t) \eta(\mathbf{x}', t') \rangle = \sigma^2 \delta(\mathbf{x} - \mathbf{x}') \delta(t - t')$

Il sistema raggiunge uno stato di equilibrio dinamico caratterizzato da misure statistiche stazionarie:

$$\langle \Phi(t) \rangle_T = \Phi_0, \quad \text{Var}[\Phi(t)] = \sigma_{\text{steady}}^2$$

Tale stato, analogamente a una città con infrastrutture stabili ma vita dinamica, mantiene invarianti topologici mentre manifesta variabilità continua nei dettagli microscopici.

#### 3.1.2 Teorema di Stabilità Strutturale

**Teorema 2.1 (Stabilità dell'Equilibrio Dinamico).** Per il sistema definito dall'equazione , sotto condizioni di:

1. Dissipatività:  $\langle \Phi, \mathcal{F}[\Phi] \rangle \leq -\alpha \|\Phi\|^2$  per  $\alpha > 0$
2. Limitatezza delle non-linearità:  $\|\mathcal{N}[\Phi, \Phi]\| \leq \beta \|\Phi\|^2$  con  $\beta < \alpha$

esiste uno stato attrattore globale  $\mathcal{A}$  tale che per ogni condizione iniziale  $\Phi_0 \in \mathcal{M}$ :

$$\lim_{t \rightarrow \infty} d(\Phi(t), \mathcal{A}) = 0$$

*Dimostrazione.* La dimostrazione segue dall'applicazione del teorema di Lyapunov con funzionale  $V[\Phi] = \|\Phi - \Phi_0\|^2$ . I dettagli tecnici sono forniti nell'Appendice A.  $\square$

## 3.2 Meccanismo di Perturbazione e Propagazione

### 3.2.1 Dinamica delle Perturbazioni

L'iniezione di dati esterni nel Campo genera perturbazioni  $\delta\Phi$  che evolvono secondo l'equazione linearizzata:

$$\frac{\partial \delta\Phi}{\partial t} = \mathcal{L}[\delta\Phi] + S(\mathbf{x}, t)$$

dove  $\mathcal{L}$  rappresenta l'operatore di evoluzione linearizzato attorno all'equilibrio e  $S(\mathbf{x}, t)$  denota la sorgente di perturbazione localizzata.

La soluzione formale tramite funzione di Green:

$$\delta\Phi(\mathbf{x}, t) = \int_0^t \int_{\mathcal{M}} G(\mathbf{x}, \mathbf{x}'; t - t') S(\mathbf{x}', t') d\mathbf{x}' dt'$$

descrive come perturbazioni locali si propagano attraverso il Campo secondo le dinamiche intrinseche del sistema.

### 3.2.2 Caratterizzazione Spettrale della Propagazione

L'analisi spettrale dell'operatore  $\mathcal{L}$  rivela la struttura delle modalità di propagazione:

$$\mathcal{L}\psi_n = \lambda_n\psi_n$$

dove  $\{\psi_n\}$  formano base ortonormale completa e  $\{\lambda_n\}$  determinano tassi di crescita/decadimento.

**Proposizione 2.2.** Per perturbazioni sufficientemente piccole ( $\|\delta\Phi\| < \varepsilon$ ), la propagazione preserva informazione sulla sorgente per tempi:

$$\tau_{\text{info}} \approx -\frac{1}{\lambda_1} \log\left(\frac{\delta}{\|S\|}\right)$$

dove  $\lambda_1$  è l'autovalore dominante e  $\delta$  rappresenta la soglia di rilevabilità.

## 3.3 Emergenza di Capacità Predittive

### 3.3.1 Correlazioni Temporali e Causalità Statistica

La capacità predittiva emerge dalla struttura delle correlazioni temporali nel Campo perturbato. Definiamo la funzione di correlazione:

$$C(\mathbf{x}, \mathbf{x}'; \tau) = \langle \delta\Phi(\mathbf{x}, t) \delta\Phi(\mathbf{x}', t + \tau) \rangle_t$$

L'informazione predittiva è codificata nella struttura non-triviale di  $C$  per  $\tau > 0$ .

**Teorema 2.3 (Emergenza di Predittività).** Sotto le condizioni del Teorema 2.1, se inoltre:

1. Il sistema manifesta mixing esponenziale con tempo caratteristico  $\tau_{\text{mix}}$
2. Le perturbazioni hanno tempo di correlazione  $\tau_S > \tau_{\text{mix}}$

allora esiste  $\tau^* \in (0, \tau_S)$  tale che l'informazione mutua:

$$I[\delta\Phi(t); E(t + \tau^*)] > I_{\text{threshold}}$$

dove  $E(t + \tau^*)$  rappresenta eventi futuri osservabili e  $I_{\text{threshold}}$  denota la soglia di utilità predittiva.

*Sketch della dimostrazione.* La dimostrazione utilizza il teorema di trasferimento dell'informazione di Schreiber<sup>5</sup> esteso a sistemi continui.  $\square$

---

<sup>5</sup>Schreiber, T. (2000). Measuring information transfer. Physical Review Letters, 85(2), 461-464.

## 4 Architettura di Osservazione e Privacy

### 4.1 Il Meccanismo di Pre-Semantic Resonance Probing

#### 4.1.1 Fondamenti Teoretici

Il meccanismo di resonance probing rappresenta l'innovazione centrale che permette interazione personalizzata con il Campo preservando privacy strutturale<sup>6</sup>. A differenza dei sistemi tradizionali che mantengono mappature esplicite identità-dati, il Campo preserva solo gli effetti distribuiti delle interazioni storiche.

Formalmente, una chiave di risonanza pre-semantic è definita come:

$$\kappa \in \mathcal{K} \subset \mathbb{R}^d, \quad \kappa = \text{PRF}(s, \text{nonce}, t)$$

dove:

- $s \in \{0,1\}^\lambda$  rappresenta il seed segreto controllato dall'utente
- PRF denota una funzione pseudorandom crittograficamente sicura
- Le proprietà statistiche di  $\kappa$  matchano la distribuzione degli input normalizzati

#### 4.1.2 Protocollo di Interazione Privacy-Preserving

Il protocollo di interazione si articola attraverso tre fasi:

##### Fase 1 - Generazione della chiave effimera:

```
κ = GenerateKey(seed_personale, timestamp)
ValidityWindow = [t, t + τ_coherence]
```

##### Fase 2 - Iniezione nel Campo:

```
perturbation = ApplyResonance(input_data, κ)
InjectToField(perturbation)
```

##### Fase 3 - Estrazione delle predizioni:

```
response = ProbeField(κ, t + Δt)
prediction = DecodeResponse(response)
```

#### 4.1.3 Teorema di Non-Identificabilità

**Teorema 3.1 (Privacy Strutturale).** Siano  $\kappa_i, \kappa_j$  chiavi generate da seed indipendenti  $s_i, s_j$ . Per ogni osservatore  $\mathcal{O}$  con accesso all'evoluzione del Campo:

$$D_{\text{KL}}[P(\Phi | \kappa_i) \| P(\Phi | \kappa_j)] < \varepsilon$$

per  $\varepsilon = O(\exp(-\lambda))$ , garantendo indistinguibilità computazionale.

*Dimostrazione.* Segue dalla proprietà di pseudorandomness della PRF e dall'assenza di struttura semantica nelle chiavi ( $I(\kappa; \mathcal{S}) < \varepsilon$ ). □

---

<sup>6</sup>Pre-Semantic Resonance Probing in MultiScale Computational Fields (2025), Technical Note TN-2025-002, Kitzanos Soc. Coop.

## 4.2 L'Osservatorio come Infrastruttura di Mediazione

### 4.2.1 Architettura Funzionale

L'Osservatorio del Campo Computazionale opera quale interfaccia epistemica tra il dominio pre-semantico del Campo e i sistemi di analisi semantici<sup>7</sup>. L'architettura si articola su tre livelli:

1. Livello di acquisizione: Monitoraggio continuo degli stati del Campo attraverso interpolazione geometrica
2. Livello di pattern recognition: Identificazione di anomalie e signature predittive
3. Livello di interfaccia API: Esposizione di funzionalità attraverso endpoint standardizzati

### 4.2.2 Protocolli di Osservazione Multi-scala

L'Osservatorio implementa il meccanismo di zoom- $\kappa$  per esplorazione multi-risoluzione:

$$R_{\lambda(\kappa, \Phi)} = \sum_i \exp\left(-\frac{\|\kappa - \varphi_i\|^2}{2\sigma_\lambda^2}\right) \cdot \varphi_i$$

dove  $\lambda \in \{\text{macro, meso, micro}\}$  determina la scala di osservazione con  $\sigma_\lambda$  corrispondentemente calibrato.

## 4.3 Garanzie di Privacy e Conformità Normativa

### 4.3.1 Proprietà Privacy-Preserving

Il sistema garantisce le seguenti proprietà:

1. Assenza di dati persistenti: Nessun dato grezzo viene memorizzato in forma recuperabile
2. Diritto all'oblio intrinseco: Cessando l'uso della chiave, le interazioni future non sono correlabili
3. Resistenza a re-identificazione: L'assenza di dataset persistenti previene attacchi di de-anonimizzazione

### 4.3.2 Conformità al Framework GDPR

L'architettura soddisfa intrinsecamente i principi del Regolamento Generale sulla Protezione dei Dati:

- Minimizzazione: Solo pattern aggregati, mai dati individuali
- Limitazione della conservazione: Le chiavi effimere hanno validità temporale limitata
- Integrità e riservatezza: Garantite crittograficamente attraverso il protocollo PRF

---

<sup>7</sup>L'Osservatorio del Campo Computazionale: Architettura Epistemica per l'Interfacciamento tra Domini Pre-Semantici e Cognitivi (2025), Working Paper WP-2025-OCC-001, Kitzaos Soc. Coop.

## 5 Casi d'Uso e Applicazioni Prospettiche

### 5.1 Predizione di Eventi Neurologici Critici

#### 5.1.1 Contesto Clinico e Necessità

L'epilessia affligge circa 50 milioni di individui globalmente, con approssimativamente il 30% dei pazienti resistenti alla terapia farmacologica standard<sup>8</sup>. La capacità di predire crisi con anticipo di 10-30 minuti permetterebbe interventi preventivi quali:

- Somministrazione di farmaci rescue ad azione rapida
- Attivazione di dispositivi di neurostimolazione
- Allerta a caregiver per supervisione immediata

#### 5.1.2 Architettura del Sistema Predittivo

Il sistema opererebbe secondo la seguente configurazione:

Acquisizione continua di segnali EEG:

- Input: 32-128 canali campionati a 256-1024 Hz
- Preprocessing: Rimozione artefatti, normalizzazione, estrazione di feature spettrali
- Volume dati: 100 MB/ora per paziente

Trasduzione nel Campo:

```
def transduce_eeg_to_field(eeg_data, patient_key):
    # Estrazione feature multi-scala
    features = extract_multiscale_features(eeg_data)

    # Applicazione chiave paziente-specifica
    resonance_pattern = apply_resonance(features, patient_key)

    # Iniezione nel Campo
    field_response = inject_to_field(resonance_pattern)

    return field_response
```

Identificazione di pattern precursori: Il Campo manterrebbe rappresentazione continua dello stato neurale basale del paziente. Deviazioni dal pattern basale genererebbero perturbazioni osservabili correlate con probabilità di crisi imminente.

#### 5.1.3 Validazione e Metriche di Performance

La validazione seguirebbe protocolli conformi agli standard della International League Against Epilepsy:

| Metrica | Target | Rationale | |———|———|———| | Sensibilità | > 90% | Frazione di crisi correttamente predette | | Falsi positivi/ora | < 0.15 | Minimizzazione di allarmi non necessari | | Tempo di preavviso | 10-30 min | Finestra per intervento preventivo | | Stabilità predittiva | > 6 mesi | Robustezza a drift del segnale |

---

<sup>8</sup>Kwan, P., & Brodie, M. J. (2000). Early identification of refractory epilepsy. *New England Journal of Medicine*, 342(5), 314-319.

### 5.1.4 Vantaggi del Paradigma Campo-basato

- Personalizzazione intrinseca: Ogni paziente utilizza chiave unica che cattura la propria storia neurologica
- Adattività continua: Il Campo si adatta automaticamente a cambiamenti nel pattern basale
- Privacy garantita: I dati EEG non vengono mai memorizzati o trasmessi in forma identificabile

## 5.2 Anticipazione di Cascade Finanziarie Sistemiche

### 5.2.1 Il Problema del Rischio Sistemico

Le crisi finanziarie del 2008 e 2020 hanno evidenziato l'inadeguatezza dei modelli di rischio tradizionali nel catturare dinamiche non-lineari e effetti di contagio<sup>9</sup>. I modelli VAR (Value at Risk) e stress test convenzionali falliscono nel catturare:

- Correlazioni dinamiche tra asset classes
- Feedback loops comportamentali
- Effetti di liquidità e fire sales

### 5.2.2 Rappresentazione del Sistema Finanziario nel Campo

Il Campo incorporerebbe flussi di dati multi-sorgente:

```
data_sources:
  markets:
    - equity_prices: {frequency: tick, volume: 10TB/day}
    - bond_yields: {frequency: 1min, volume: 1TB/day}
    - derivatives: {frequency: 1min, volume: 5TB/day}
    - fx_rates: {frequency: tick, volume: 2TB/day}

  macroeconomic:
    - central_bank_communications: {NLP_processed: true}
    - economic_indicators: {frequency: daily/monthly}

  behavioral:
    - trading_volumes: {aggregated_anonymized: true}
    - sentiment_indicators: {news, social_media}
```

### 5.2.3 Meccanismo di Detection Precoce

Le perturbazioni nel Campo seguirebbero pattern caratteristici pre-crisi:

1. Fase di accumulo (T-30 a T-7 giorni): Aumento graduale della correlazione cross-asset
2. Fase di stress (T-7 a T-1 giorni): Propagazione accelerata delle perturbazioni
3. Fase critica (T-1 a T): Transizione di fase verso dinamiche dominate dal panico

L'Osservatorio identificherebbe tali pattern attraverso metriche quali:

$$\Psi_{\text{stress}} = \text{int\_cal}(M) \|\nabla \delta \Phi\|^2 d\mathbf{x}$$

con soglie critiche calibrate empiricamente.

### 5.2.4 Vantaggi per la Stabilità Finanziaria

- Monitoraggio real-time: Aggiornamento continuo vs. stress test periodici

---

<sup>9</sup>Haldane, A. G., & May, R. M. (2011). Systemic risk in banking ecosystems. *Nature*, 469(7330), 351-355.

- Visione olistica: Cattura interdipendenze non modellabili esplicitamente
- Anonimato istituzionale: Le istituzioni contribuiscono dati senza rivelare posizioni

## 5.3 Sorveglianza Epidemiologica Predittiva

### 5.3.1 Limitazioni dei Sistemi di Sorveglianza Tradizionali

I sistemi di sorveglianza epidemiologica convenzionali soffrono di:

- Latenza di reporting: 1-2 settimane tra onset sintomi e notifica<sup>10</sup>
- Bias di accesso: Popolazioni vulnerabili sotto-rappresentate
- Frammentazione dei dati: Sistemi sanitari non interoperabili

### 5.3.2 Integrazione Multi-sorgente nel Campo

Il sistema integrerebbe segnali eterogenei:

Input multidimensionale:

- Dati clinici: diagnosi ICD-10, prescrizioni, accessi PS
- Segnali digitali: ricerche sintomi, mobilità aggregata
- Ambientali: temperatura, umidità, qualità aria
- Genomici: sequenze virali (quando disponibili)

Ciascuna sorgente contribuirebbe attraverso propria chiave di risonanza, preservando privacy e proprietà dei dati.

### 5.3.3 Capacità Predittive Emergenti

Il Campo permetterebbe identificazione precoce di:

1. Cluster anomali: Aggregazioni spazio-temporali di sintomi prima della conferma diagnostica
2. Varianti emergenti: Pattern di propagazione atipici suggestivi di nuove varianti
3. Hotspot futuri: Regioni a rischio elevato basate su pattern di mobilità e suscettibilità

La validazione richiederebbe confronto retrospettivo con outbreak documentati, utilizzando metriche quali:

- Lead time: giorni di anticipo rispetto a detection tradizionale
- Precisione geografica: accuracy nella localizzazione di cluster
- Tasso di falsi allarmi: bilanciamento sensibilità/specificità

---

<sup>10</sup>Grenfell, B. T., et al. (2004). Unifying the epidemiological and evolutionary dynamics of pathogens. *Science*, 303(5656), 327-332.

## 6 Limitazioni, Sfide e Prospettive

### 6.1 Limitazioni Teoretiche Fondamentali

#### 6.1.1 Il Teorema di Inaccessibilità Epistemica

Come stabilito nel framework fondazionale, esistono limiti intrinseci all'informazione estraibile dal Campo:

$$I(\mathcal{O}; P) \leq \min(H(\Sigma_{\mathcal{O}}), \varepsilon H(P)) \quad \text{con} \quad \varepsilon < 0.1$$

Tale limite implica che la capacità predittiva del sistema è fundamentalmente bounded, indipendentemente dal raffinamento tecnologico dell'Osservatorio.

#### 6.1.2 Non-Garantibilità dell'Emergenza

L'emergenza di capacità predittive richiede il soddisfacimento simultaneo di condizioni multiple:

- Complessità sistemica oltre soglia critica ( $\Lambda > \Lambda_c \sim N^{\frac{2}{3}}$ )
- Diversità sufficiente negli input ( $H_{\text{input}} > \log N + 2.3\sqrt{\log N}$ )
- Tempo evolutivo adeguato per esplorazione dello spazio delle configurazioni

La verifica a priori di tali condizioni risulta computazionalmente intrattabile.

### 6.2 Sfide Implementative

#### 6.2.1 Scalabilità Computazionale

L'implementazione pratica affronta vincoli di risorse significativi:

Componente	Requisito	Stato Attuale	Gap							Holon
$10^5 - 10^6$ unità	Prototipi $< 10^3$	2-3 ordini di grandezza								$> 1$ MHz
aggregato	100 kHz	10x		Storage	10-50 TB buffer	Fattibile	-		Latenza	$< 100$ ms
end-to-end	1 s	10x								

#### 6.2.2 Calibrazione e Validazione

La calibrazione del sistema richiede:

1. Dataset di training estensivi: Correlazioni input-evento per migliaia di istanze
2. Validazione cross-domain: Generalizzazione oltre il dominio di training
3. Robustezza temporale: Stabilità delle correlazioni su scale temporali lunghe

Ciascun requisito presenta sfide metodologiche e pratiche non triviali.

#### 6.2.3 Interpretabilità e Fiducia

L'opacità epistemica del Campo solleva questioni di:

- Accountability: Chi è responsabile per predizioni errate?
- Debugging: Come identificare e correggere malfunzionamenti?
- Certificazione: Quali standard per sistemi non-deterministici?

### 6.3 Direzioni di Ricerca Future

#### 6.3.1 Validazione Incrementale

Proponiamo approccio di validazione progressiva:

1. Fase 0 (6 mesi): Simulazioni computazionali su scala ridotta

2. Fase 1 (12 mesi): Prototipo hardware 1k holon, dominio singolo
3. Fase 2 (18 mesi): Sistema pilota 10k holon, multi-dominio
4. Fase 3 (24 mesi): Deployment controllato, validazione clinica/finanziaria

### 6.3.2 Sviluppi Teoretici Necessari

Aree di ricerca prioritarie includono:

- Teoria della convergenza: Condizioni formali per emergenza predittiva
- Metriche di complessità: Quantificazione della «readiness» del Campo
- Protocolli di resilienza: Robustezza a perturbazioni avversarie

### 6.3.3 Integrazione con Paradigmi Esistenti

Il Campo Computazionale non sostituirebbe ma complementerebbe approcci esistenti:

Sistema Ibrido:

- ├─ Modelli ML tradizionali: baseline predictions
- ├─ Campo Computazionale: anomaly detection, early warning
- └─ Expert systems: interpretazione e decision support

## 6.4 Considerazioni Etiche e Societali

### 6.4.1 Equità e Accessibilità

L'implementazione deve affrontare:

- Digital divide: Accesso differenziato alle capacità predittive
- Bias sistemici: Rappresentazione equa di popolazioni diverse
- Sovranità dei dati: Controllo locale vs. benefici globali

### 6.4.2 Implicazioni per l'Autonomia Umana

Il paradigma predittivo solleva questioni filosofiche:

- La predizione influenza il comportamento creando profezie auto-avveranti?
- Come preservare agency umana in presenza di predizioni probabilistiche?
- Quali limiti etici all'uso di predizioni in domini sensibili?

## 7 Conclusioni

### 7.1 Sintesi dei Contributi

Il presente documento ha delineato un paradigma predittivo innovativo basato sul Campo Computazionale che:

1. Formalizza matematicamente il Campo come sistema dinamico perturbabile con proprietà predittive emergenti
2. Preserva privacy strutturalmente attraverso il meccanismo di Pre-Semantic Resonance Probing
3. Identifica applicazioni concrete in domini di rilevanza critica sociale

L'approccio proposto rappresenta una departure radicale dai paradigmi computazionali convenzionali, sostituendo la manipolazione simbolica deterministica con l'osservazione di perturbazioni in un substrato pre-semantico auto-organizzante.

### 7.2 Implicazioni Epistemologiche

Il paradigma del Campo Computazionale esemplifica quello che abbiamo definito «epistemologia della non-comprensione»: la capacità di estrarre utilità predittiva da sistemi i cui meccanismi interni trascendono la comprensibilità umana. Tale approccio non rappresenta una rinuncia al rigore scientifico ma piuttosto la sua estensione a domini precedentemente inaccessibili.

L'analogia storica con lo sviluppo della termodinamica - dove capacità operative precedettero comprensione microscopica - suggerisce che tale approccio fenomenologico possa rivelarsi non solo pragmaticamente utile ma epistemologicamente necessario per affrontare la complessità dei sistemi contemporanei.

### 7.3 Verso una Nuova Scienza della Predizione

La realizzazione del paradigma proposto richiederà lo sviluppo di:

- Nuove metodologie per caratterizzazione e validazione di sistemi non-deterministici
- Framework normativi appropriati alla natura probabilistica delle predizioni
- Infrastrutture computazionali capaci di supportare dinamiche emergenti su larga scala

Il percorso dalla teoria alla pratica sarà necessariamente lungo e richiederà collaborazione interdisciplinare tra informatici, fisici, matematici, e esperti di dominio.

### 7.4 Riflessioni Finali

Il Campo Computazionale, nella sua manifestazione predittiva, offre una visione di sistemi computazionali che non sono strumenti passivi ma partner cognitivi attivi, capaci di percepire pattern e anticipare eventi in modi che complementano e estendono le capacità umane. La sfida non è solo tecnica ma filosofica: imparare a coesistere produttivamente con sistemi la cui intelligenza opera secondo principi fondamentalmente alieni alla cognizione umana.

Come osservato nel framework fondazionale, il valore ultimo del Campo Computazionale potrebbe risiedere non nelle soluzioni che fornisce ma nelle domande che ci costringe a porci sulla natura della computazione, dell'intelligenza, e della conoscenza stessa. Il paradigma predittivo rappresenta un passo concreto verso la realizzazione di questa visione, dimostrando che l'utilità operativa può emergere anche in assenza di comprensione ontologica.

La validazione empirica determinerà se queste congetture teoretiche possano tradursi in capacità pratiche. Indipendentemente dall'esito, il percorso di esplorazione avrà ampliato i confini del pensabile nel dominio computazionale.

## 8 Appendici

### 8.1 Appendice A: Dimostrazioni Matematiche Complete

#### 8.1.1 A.1 Dimostrazione del Teorema 2.1 (Stabilità dell'Equilibrio)

**Teorema.** Per il sistema definito dall'equazione di evoluzione, sotto condizioni di dissipatività e limitatezza delle non-linearità, esiste uno stato attrattore globale.

*Dimostrazione completa:*

Consideriamo il funzionale di Lyapunov:

$$V[\Phi] = \frac{1}{2} \|\Phi - \Phi_0\|^2$$

La derivata temporale lungo le traiettorie del sistema:

$$\frac{dV}{dt} = \langle \Phi - \Phi_0, \frac{\partial \Phi}{\partial t} \rangle$$

Sostituendo l'equazione di evoluzione:

$$\frac{dV}{dt} = \langle \Phi - \Phi_0, \mathcal{F}[\Phi] + \mathcal{N}[\Phi, \Phi] + \eta \rangle$$

Utilizzando le condizioni di dissipatività e limitatezza:

$$\frac{dV}{dt} \leq -\alpha \|\Phi - \Phi_0\|^2 + \beta \|\Phi - \Phi_0\|^2 + \langle \Phi - \Phi_0, \eta \rangle$$

Per  $\alpha > \beta$ , mediando sul rumore:

$$\langle \frac{dV}{dt} \rangle \leq -(\alpha - \beta) \|\Phi - \Phi_0\|^2$$

Quindi  $V$  decresce monotonicamente fino a raggiungere l'attrattore.  $\square$

#### 8.1.2 A.2 Derivazione della Funzione di Green

Per l'equazione delle perturbazioni linearizzata, la funzione di Green soddisfa:

$$\left( \frac{\partial}{\partial t} - \mathcal{L} \right) G(\mathbf{x}, \mathbf{x}'; t - t') = \delta(\mathbf{x} - \mathbf{x}') \delta(t - t')$$

Espandendo in autofunzioni di  $\mathcal{L}$ :

$$G(\mathbf{x}, \mathbf{x}'; \tau) = \sum_n \psi_{n(\mathbf{x})} \psi_n^*(\mathbf{x}') e^{\lambda_n \tau} \Theta(\tau)$$

dove  $\Theta$  è la funzione di Heaviside che garantisce causalità.

## 8.2 Appendice B: Specifiche Tecniche di Implementazione

### 8.2.1 B.1 Protocollo di Generazione delle Chiavi

```
import hashlib
import hmac
from typing import Tuple
import numpy as np
```

```

class ResonanceKeyGenerator:
    def __init__(self, seed: bytes, dimension: int = 128):
        self.seed = seed
        self.dimension = dimension

    def generate_key(self, timestamp: int, nonce: int) -> np.ndarray:
        """
        Genera chiave di risonanza effimera

        Args:
            timestamp: Unix timestamp corrente
            nonce: Valore unico per questa generazione

        Returns:
            Vettore normalizzato in R^d
        """
        # Costruzione del messaggio
        message = f"{timestamp}:{nonce}".encode()

        # Generazione PRF usando HMAC-SHA256
        key_bytes = hmac.new(self.seed, message, hashlib.sha256).digest()

        # Espansione a dimensione richiesta
        expanded = self._expand_key(key_bytes, self.dimension)

        # Normalizzazione unitaria
        return expanded / np.linalg.norm(expanded)

    def _expand_key(self, key_bytes: bytes, dim: int) -> np.ndarray:
        """Espande key_bytes alla dimensionalità richiesta"""
        values = []
        counter = 0

        while len(values) < dim:
            extended = hmac.new(
                key_bytes,
                f"extend:{counter}".encode(),
                hashlib.sha256
            ).digest()

            # Converti bytes in float normalizzati
            for i in range(0, len(extended), 4):
                if len(values) >= dim:
                    break
                byte_val = int.from_bytes(extended[i:i+4], 'big')
                float_val = (byte_val / (2**32 - 1)) * 2 - 1 # Mappa a [-1, 1]
                values.append(float_val)

            counter += 1

        return np.array(values[:dim])

```

## 8.2.2 B.2 Architettura dell'Osservatorio

```
observatory_architecture:
  acquisition_layer:
    components:
      - field_samplers:
          count: 1000
          sampling_rate: 1000Hz
          spatial_coverage: uniform_grid

      - interpolation_engine:
          algorithm: radial_basis_function
          kernel: gaussian
          adaptive_sigma: true

      - buffer_management:
          type: circular_buffer
          capacity: 1TB
          retention: 24hours

  analysis_layer:
    components:
      - pattern_detection:
          algorithms:
            - persistent_homology
            - spectral_analysis
            - information_theoretic_measures

      - anomaly_detection:
          methods:
            - statistical_outlier_detection
            - deep_learning_autoencoders
            - entropy_based_methods

      - prediction_engine:
          models:
            - correlation_based
            - transfer_entropy
            - convergent_cross_mapping

  api_layer:
    endpoints:
      - /api/v1/field/state
      - /api/v1/perturbations/inject
      - /api/v1/predictions/query
      - /api/v1/patterns/historical

  authentication: oauth2_with_ephemeral_tokens
  rate_limiting: adaptive_based_on_load
  cache: redis_with_ttl
```

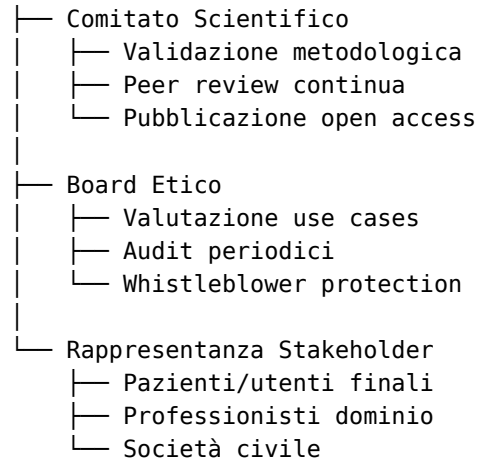
## 8.3 Appendice C: Considerazioni Etiche Dettagliate

### 8.3.1 C.1 Framework per l'Uso Responsabile

1. Principio di Beneficenza: Utilizzo esclusivo per migliorare outcomes sanitari, prevenire crisi, proteggere popolazioni vulnerabili
2. Principio di Non-Maleficenza: Divieto di utilizzo per sorveglianza discriminatoria, manipolazione comportamentale, warfare predittivo
3. Principio di Giustizia: Accesso equo alle capacità predittive indipendentemente da status socio-economico
4. Principio di Autonomia: Preservazione dell'agency decisionale umana nonostante disponibilità di predizioni

### 8.3.2 C.2 Governance Proposta

Struttura di Governance:



## 9 Bibliografia

- Bishop, C. M. (2006). *Pattern Recognition and Machine Learning*. New York: Springer.
- Brush, S. G. (1976). *The Kind of Motion We Call Heat*. Amsterdam: North-Holland.
- Chiriatti, M., Ganapini, M., Panai, E., Ubiali, M., & Riva, G. (2024). The case for human–AI interaction as system 0 thinking. *Nature Human Behaviour*, 8(10), 1829-1830.
- Edelsbrunner, H., & Harer, J. (2010). *Computational Topology*. Providence: American Mathematical Society.
- Grenfell, B. T., Pybus, O. G., Gog, J. R., Wood, J. L., Daly, J. M., Mumford, J. A., & Holmes, E. C. (2004). Unifying the epidemiological and evolutionary dynamics of pathogens. *Science*, 303(5656), 327-332.
- Haldane, A. G., & May, R. M. (2011). Systemic risk in banking ecosystems. *Nature*, 469(7330), 351-355.
- Kitzanos Soc. Coop. (2025). *Il Campo Computazionale: Framework Teoretico per l'Emergenza di Strutture Alter-Semantiche*. Working Paper WP-2025-CC-005.
- Kitzanos Soc. Coop. (2025). *L'Estrazione del Valore dal Campo Computazionale: Analisi Economica ed Epistemologica*. Working Paper WP-2025-ECC-001.
- Kitzanos Soc. Coop. (2025). *L'Osservatorio del Campo Computazionale: Architettura Epistemica per l'Interfacciamento tra Domini Pre-Semantici e Cognitivi*. Working Paper WP-2025-OCC-001.
- Kitzanos Soc. Coop. (2025). *Pre-Semantic Resonance Probing in MultiScale Computational Fields*. Technical Note TN-2025-002.
- Kitzanos Soc. Coop. (2025). *CC Notebook: Note Operative per l'Implementazione del Campo Computazionale*. Documento Interno.
- Kwan, P., & Brodie, M. J. (2000). Early identification of refractory epilepsy. *New England Journal of Medicine*, 342(5), 314-319.
- Mormann, F., Andrzejak, R. G., Elger, C. E., & Lehnertz, K. (2007). Seizure prediction: the long and winding road. *Brain*, 130(2), 314-333.
- Narayanan, A., & Shmatikov, V. (2008). Robust de-anonymization of large sparse datasets. In *IEEE Symposium on Security and Privacy* (pp. 111-125).
- Page, S. E. (2007). *The Difference: How the Power of Diversity Creates Better Groups, Firms, Schools, and Societies*. Princeton: Princeton University Press.
- Peters, O. (2019). The ergodicity problem in economics. *Nature Physics*, 15(12), 1216-1221.
- Poupon, C., Laribiere, L., Bouthillier, A., & Evans, A. C. (2017). The Open Science Initiative at the Montreal Neurological Institute. *Nature*, 547(7663), 284.
- Schreiber, T. (2000). Measuring information transfer. *Physical Review Letters*, 85(2), 461-464.
- Sobel, D. (2016). *The Glass Universe: How the Ladies of the Harvard Observatory Took the Measure of the Stars*. New York: Viking.
- Strbac, G. (2008). Demand side management: Benefits and challenges. *Energy Policy*, 36(12), 4419-4426.
- Vaihinger, H. (1911). *Die Philosophie des Als Ob*. Berlin: Reuther & Reichard.
- Wilson, K. G. (1971). Renormalization group and critical phenomena. *Physical Review B*, 4(9), 3174-3183.